
دراسة في بعض الخواص الميكانيكية للصلب المنخفض الكاربون المغطس في سبيكة

(Al-14 Wt %Si)

² عباس عبدالله الدليمي

¹ خليفة صالح الدغاري

DOI: <https://doi.org/10.54172/mjsc.v25i1.786>

الملخص

تم في هذا البحث دراسة البلي الجاف للصلب المنخفض الكاربون المغطس في مصهور سبيكة (Al-14%Si) عند درجة حرارة (993 K) ولفترات زمنية مختلفة (12,9,6,3) دقيقة ومن ثم تبریدها في الهواء . وقد تبين من البحث إن خاصية البلي الجاف تتحسن مع زيادة زمن التقطيع.

¹ قسم الفيزياء / كلية العلوم –جامعة عمر المختار البيضاء-ليبيا

² كلية الهندسة / فرع المرج-جامعة قاريونس -بنغازي -ليبيا

©. المؤلف (المؤلفون) هذا المقال المخاني يتم الوصول إليه من خلال رخصة المشاع الإبداعي (CC BY-NC 4.0)

المقدمة

وطبقة متداخلة معدنية (Intermetallic) من الألミニوم والهديد والتي تؤدي إلى زيادة صلادة وزيادة مقاومة ضد التآكل والكلل [Wang, 2007] وكذلك يؤدي التغطيس إلى تحسين أداء الصلب ضد التآكسد والنحر عند درجات الحرارة العالية (K-1253) [Liang, et al., 1997] (723 K) و

[Zhijian, et al., 1997] . إن الهدف من هذا البحث هو تحسين أداء السطح الخارجي للصلب المنخفض الكاربون ضد تآكل البلي عند استخدامه في الأجزاء المترقبة لبيان فاعلية التغطيس (Dipping) في عمليات التآكل الميكانيكي.

المواد وطرق البحث**المعادن المستخدمة****الصلب Steel**

تم إعداد عينات اختبار البلي بطول 25 مم وقطر 10 ملم من أعمدة من الصلب المنخفض الكاربون بطول (6) متر وقطر (12) ملمتر بعد خراطتها لتكون ملائمة لجهاز اختبار البلي، وكان التركيب الكيميائي للصلب المنخفض الكاربون كما مبين في الجدول (1).

تعتبر عمليات التغطيس (Dipping) للصلب عند درجات الحرارة العالية من العمليات الصناعية المهمة التي تحسن المقاومة ضد الأكسدة والبلي وخصوصاً عند استخدامه في التطبيقات التي تتعرض إلى التآكل الميكانيكي نتيجة الحركة للأجزاء المترقبة وكذلك في صناعة ريش توربينات الطائرات المقاتلة التي تصطدم بقطرات الماء في أعلى الجو عند السرع العالية مؤدية إلى تآكلها بعملية النحر (Erosion) (Windmills renewable Wind energy) لتوليد الطاقة الكهربائية بالرياح نتيجة تصادها بحبات الغبار والرمال المنطلقة بسرعة عالية عند هبوب العواصف والتي تؤدي إلى تآكلها مما يتطلب تحسين أداء صفائع الصلب المستخدمة لمقاومة التآكل النحري (Erosion wear) وقد استخدم لهذا الغرض طرق مختلفة ومنها الطلاء بالبلازما [Aihua et al., 1993] و [Shied and Wu, 1991] والذي يكون الالتصاق فيها ردئ مما يتطلب البحث عن طرق أخرى أكثر فاعلية ومنها التغطيس في مصاهير الألمنيوم السائل

[An et al , 2001] و [Aries, 1994]

والذي يؤدي إلى تكوين طبقة خارجية رقيقة تقوم بحماية الحديد ضد التآكسد (Thin layer)

سبائك الألミニوم - سليكون (Al-14 Wt %Si)
 تم تقطيع سبيكة (Al-14 % Si) الجاهزة والتي تكون على شكل كتل كبيرة إلى قطع صغيرة ومن ثم وضعها داخل بوتقة حرارية في فرن كهربائي ثم صهرها عند درجة حرارة (993 K).

Dipping process:-

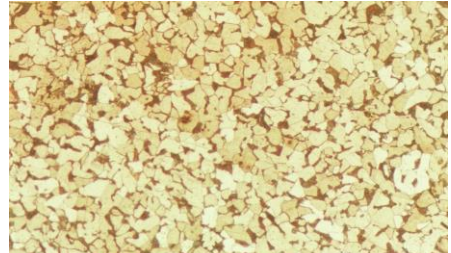
تم تغميس جميع العينات في مادة الصلب المنخفض الكاربون في البوتقة المحتوية على منصهر سبيكة ألمانيوم - سليكون عند درجة حرارة (993 K) وقد تم إخراج الجموعة الأولى بعد ثالث دقائق والجموعة الثانية بعد ست دقائق وهكذا.. والشكل (2) يبين التركيب المجهري لسبائك ألمانيوم - سليكون (Al-14Wt%Si).

العنصر	التركيز الكيميائي للمعدن %
C الكاربون	0.18
Si السليكون	0.03- 0.3
P الفسفور	0.04
S الكبريت	0.2- 0.5
Mn المنيز
Ni النيكل
Cu النحاس
V الفناديوم
Mo الموليدنيوم
Fe الحديد	Remainder

وكان التركيب للبنية المجهرية للصلب المستخدم في البحث كما مبين بالشكل (1) حيث يتبيّن أنّه يتكون من كميات كبيرة من الفرایت (α) (الحديد النقي) وكميات قليلة من البيرلايت .(P)

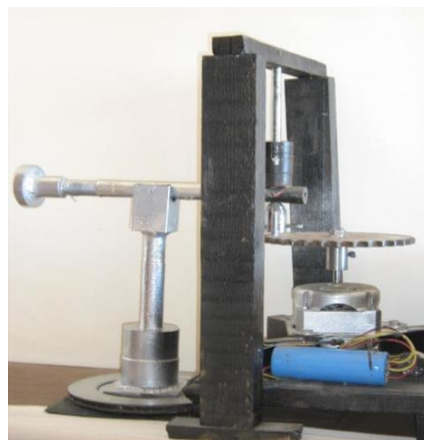


شكل (2) يبيّن التركيب المجهري لسبائك ألمانيوم - سليكون (Al-14Wt%Si) (20 X).



شكل (1) يبيّن التركيب الدقيق للصلب المنخفض الكاربون المستخدم في البحث التكبير (20 X).

$$\rho = \text{كتافة الصلب المنخفض} \\ \text{الكاربون (gm/cm}^3\text{)} .$$



شكل (3) يبين جهاز اختبار البلي-Pin-On-Disc.

قياس الصلادة:-

تم قياس الصلادة للعينات باستخدام التدریج (HRB) باستخدام مقياس روکوبل

. النتائج والمناقشة

منحنيات البلي

لقد تم رسم العلاقة بين الحمل ومعدل التآكل للصلب المنخفض الكاربون والمغطس في سبيكة الألミニوم - سليكون عند أحمال مختلفة ولأربعة أزمان (12,9,6,3) دقيقة كما مبين بالشكل (4) وكذلك رسم العلاقة بين معدل التآكل مع الصلادة للعينات عند حمل ثابت مقداره (8.65 N) شكل (5) ومقاومة التآكل

ولعدم وجود جهاز المسح الإلكتروني فلم يكن بالاً مكان اخذ شكل يوضح سبيكة الصلب المنخفض الكاربون بعد عملية التغطيس في سبيكة الألミニوم - سليكون (Al-14Wt%Si) .

الاختبارات الميكانيكية

اختبار البليان

تم اختبار العينات ضد تآكل البليان باستخدام الجهاز المبين في الشكل (3) والذي يدور بعدد دورات

(N=1500 RPM) وكانت المسافة

(d=16 Cm) و زمن الاختبار (t) لجميع العينات هو (30) دقيقة و ($\rho = 7.86 \text{ gm/Cm}^3$) وقد تم حساب معدل التآكل باستخدام المعادلة التالية

-:- [Mohamed., 1983]

$$\text{Wear rate} = \frac{W}{2\pi\rho d N t} \\ (1) \text{ Cm}^3/\text{Cm}$$

حيث :-

W = الوزن المفقود لعينة

الاختبار (gm) .

d = المسافة المثبتة بها عينة

الاختبار على القرص الدائر (2R) (Cm) .

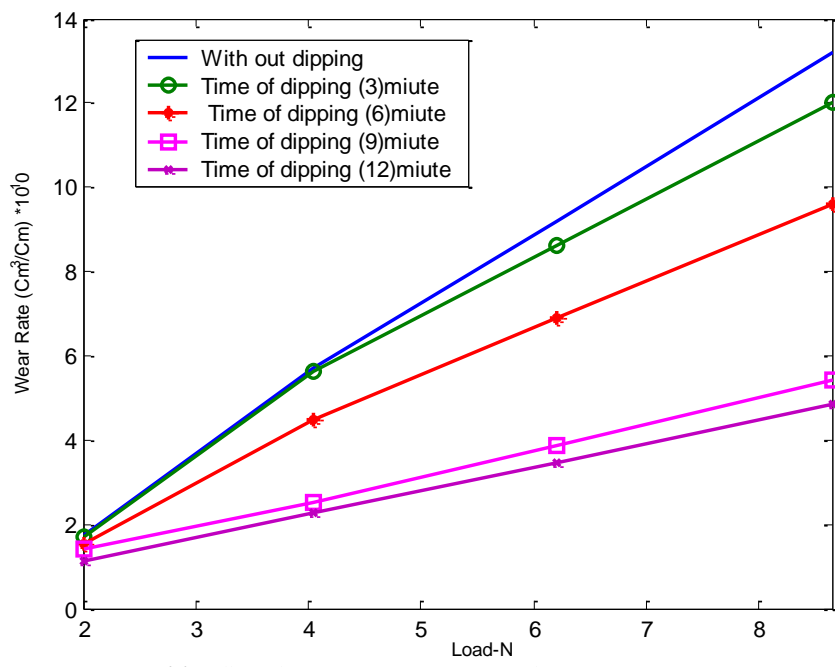
N = عدد دورات القرص الدائر

(R.P.M)

t = زمن الاختبار (Min) .

حمل ثابت مقداره (8.65 N) شكل (6)

$$\frac{1}{\text{Wear rate}} \text{ مع الصلادة عند}$$



Fig(4):- Effect of dipping time on wear rate for low carbon steel

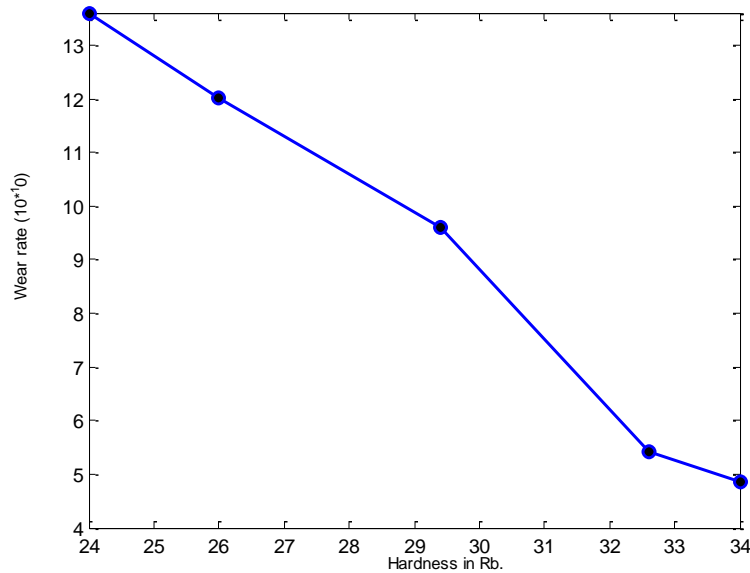


Fig (5) :- the effect of wear rate against hardness HRB at constant load 8.65 N.

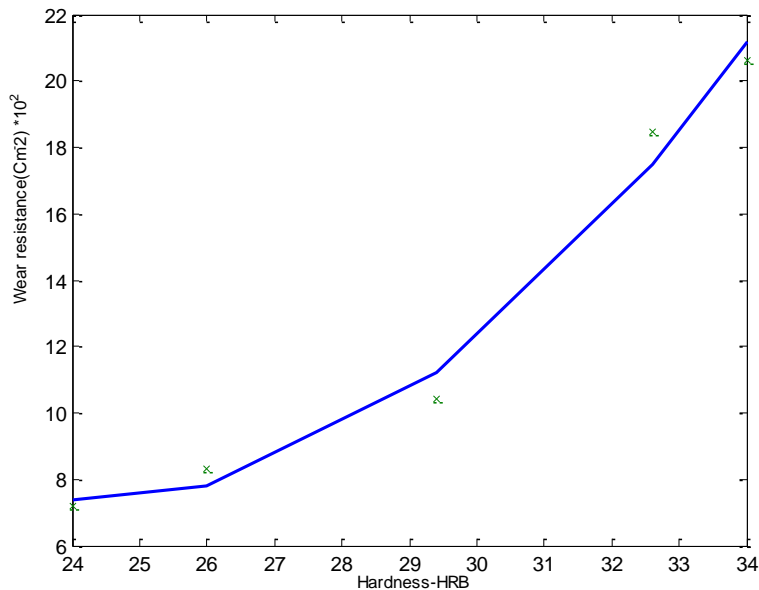


Fig (6):- Wear resistance against hardness for load (8.65 N)

النتائج والمناقشة

. تأثير زمن التغطيس على معدلات

البلي

يبين الشكل (4) تأثير زمن التغطيس

على معدلات البليان عند أزمان مختلفة حيث

نلاحظ من الشكل أنماة كلما زاد زمن التغطيس

كلما زاد سمك طبقة الطلاء (Plating) وكذلك

سمك الطبقة المعدنية المتداخلة (Intermetallic)

المكونة والتي تؤدي إلى تفاعل الحديد مع الألミニوم

والتي قد تؤدي إلى احتمالية تكون المركبات التالية

-:

(Fe₂Al₅-14Wt%Si , Fe₃Al-

, FeAl-14Wt%Si) 14Wt%Si حسب زمن

التغطيس كما سبق للباحث [Wang, 2007]

وهذه الطبقات المكونة تؤدي بدورها إلى تحسين

مقاومة البليان للصلب ضد التآكل الميكانيكي

حيث تحتاج إلى فترة زمنية أطول لإزالة الطبقة

المعدنية المتداخلة وبالتالي فأنماة كلما زادت فترة

التغطيس أدت إلى تحسين مقاومة الصلب للبليان ،

وكذلك فإن زيادة زمن التغطيس يؤدي إلى زيادة

الصلادة للسبائك بفعل السماح لها بتكوين الأطوار

السابقة الذكر والتي بدورها تزيد من مقاومة

الصلب للاجهادات الخارجية وتقلل من

الاستنتاجات

1. معدلات البليان للصلب المنخفض الكاربون تقل مع زيادة زمن التغطيس في سبيكة الألミニوم - سليكون المقاومة للتآكل.

2. مقاومة البلي للصلب المنخفض الكاربون ترداد مع زيادة الصلادة والناتجة من زيادة زمن التغطيس للصلب في سبيكة ألمانيوم - سليكون.

3. زيادة زمن التغطيس أدت إلى تحسين أداء الصلب المنخفض ضد البلي وكذلك ضد التآكسد نتيجة زيادة سمك طبقة الطلاء للألミニوم. والطبقة المتداخلة.

Study of some mechanical properties of low carbon steel dipped in (Al-14 Wt %Si) liquid alloy

Abbas. A. Aldullmey¹ and Khalifa. S. Aldaghari²

Abstract

Adhesive wear of low carbon steel dipped in Liquid alloy of (Al-14Wt%Si) at(993 K) for interval times (3,6,9 and12) minutes and air cooling has been investigated under dry sliding conditions.

It has been found of increasing of dipping times , reduce the wear rate and improve the adhesive resistance compared with samples with out dipping.

¹ Department of Physics / Faculty of Science - University of Omar Al-Mukhtar Al-Bayda - Libya

²Faculty of Engineering / Branch of Marj - University of Garyounis - Benghazi – Libya

المراجع

- Aihua, W., Zhu , B., et al,'Thermal shock behavior of plasma sprayed Al₂O₃ -13wt%TiO₂ coating on Al-Si alloys by laser remelting , Surface and coating tech., 57 (1993), 169.
- An, J., Lu,Y., Xu, D. W., Liu,, Y.B.,Sun,D. R and Yang, B.,'Hot-rolled bonding of Al-Pb bearing alloys strips and hot dip aluminized steel sheet., Journal of Materials Engineering and Performance , 10 (2001),131.
- Aries, L. J.,' Preparation of electrolytic ceramic films on stainless steel conversion coating ..Appl.Electrochem.,(1994)24,55 4.
- Liang, D et al.,'Hot Dip galvanized steel., Scripta Metall Meter ., 34(1997) 10, 1513.
- Mohamed,J.K ,M.Sc.Thesis, (University of Technology-Baghdad).1983.
- Shied, J. H., Wu, S.T.,'Rapid solidification of a plasma-sprayed ceramic coating melted by a Co₂ laser .,Appl.Phys.Lett., 59(1991) 12, 1512.
- Wang, D.,Formation and property of ceramic layer on a low carbon steel ., Journal of Advanced Materials.,2(2007).
- Zhijian, N .,Zhongyuan,R and Diguang, H.,'The properties and its effect